

境界積分方程式法による3次元弾性問題の高精度化について

京都大学工学部 正員 小林昭一
京都大学工学部 正員 西村直志
愛知県 正員 ○佐守真人

1. まえがき

近年、境界積分方程式法が、3次元弾性問題にも利用されるようになつたが、形状を高次近似することによって、精度の改善、検討を行なうことが意外に行なわれていなつた。そこで本研究では、外部問題に関して、形状近似に2次のアイソパラメトリック近似を用いて、解析を行なつた。また、境界応力算定の方法について検討を試みた。

2. 積分方程式

領域を Ω 、その境界を $\partial\Omega$ 、領域内部の点を $P(x)$, $Q(\alpha)$ 、境界上の点を $P(x)$, $Q(\alpha)$ とする。

外部Green公式は、変位、表面力の基本解を U_{ij} , T_{ij} とすると、

$$\mu_i(P) = \int_{\partial\Omega} T_{ij}(P, \alpha) u_j(\alpha) dS(\alpha) - \int_{\partial\Omega} U_{ij}(P, \alpha) t_j(\alpha) dS(\alpha) \quad (1)$$

となる。解析可能とするために、(1)式の左辺の $P(x)$ の境界への極限をとると

$$(S_{ij} - C_{ij}^e) u_j(P) = \int_{\partial\Omega} T_{ij}(P, \alpha) u_j(\alpha) dS(\alpha) - \int_{\partial\Omega} U_{ij}(P, \alpha) t_j(\alpha) dS(\alpha) \quad (2)$$

となる。ここに C_{ij}^e は、2重層を境界へ極限操作した時に算出される定数を示す。また内部応力は、(2)式を上で偏微分すると次式で求められる。

$$\sigma_{ij}(P) = \int_{\partial\Omega} S_{ijk}(P, \alpha) \mu_k(\alpha) dS(\alpha) - \int_{\partial\Omega} D_{ijk}(P, \alpha) t_k(\alpha) dS(\alpha) \quad (3)$$

3. 數値解析

3.1 アイソパラメトリック要素：解の精度の向上をはかるために、図-1のようなく節点を含む2次のアイソパラメトリック要素を使用する。座標 x_i 、変位 μ_i 、表面力 t_i は、

$$x_i(\alpha) = M^c(\alpha) x_i^c \quad \mu_i(\alpha) = M^c(\alpha) \mu_i^c \quad t_i(\alpha) = M^c(\alpha) t_i^c \quad (4)$$

と表わされる。ここに $M^c(\alpha)$ は節点 c 上で1、他の節点ではゼロとなる、いわゆる形状関数である。

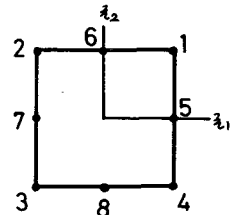


図-1

3.2 離域化：(2)式に対しても、上記の2次のアイソパラメトリック近似を使用し、N個の要素に離域化する。さらに、数値積分として、ガウス積分を使用する。 H_e , H_m を軸、各軸方向の積分の重み、 J をJacobianとすると(2)式は

$$C_{ij} u_j(P(x)) - \sum_{m=1}^N \sum_{e=1}^E \sum_{i=1}^n U_{ij}^{(m)} T_{ij}(P, Q(M^c(\alpha) \gamma^{(m)})) M^c(\alpha) H_e H_m J = - \sum_{m=1}^N \sum_{e=1}^E \sum_{i=1}^n t_j^{(m)} U_{ij}(P, Q(M^c(\alpha) \gamma^{(m)})) M^c(\alpha) H_e H_m J \quad (5)$$

と表わされる。ただし、 $C_{ij} = S_{ij} - C_{ij}^e$ とする。

3.3 積分の評価：(5)式は、節点 e が積分を行なう要素に含まれてない場合、可積分となる。

SHOICHI KOBAYASHI, NAOSHI NISHIMURA, MAHITO SAMORI

るが、それが要素内に含まれている時、 $T_{ij} M^e H_m J \in O(r^4)$ 、 $U_{ij} M^e H_m J \in O(1)$ とな、て、2重層は可積分にならない。従がって図-2のように要素をさらに分割し、ガウス積分点も、線型の形状関数を導入して、三角形形状とし、 $J \in O(r)$ とすることによって可積分となるようにした。節点自身での積分は、上記の方法においても可積分となるない。そこで、下式の2重層の関係

$$C_{ij} - \int_{\partial D} T_{ij}(P, Q) dS(Q) = \delta_{ij} \quad (6)$$

を使用して、節点自身での積分との残りの積分を分離すると、

$$C_{ij} - \int_{\partial D} T_{ij} M^e dS = \int_{\partial D} T_{ij} M^{ne} dS \quad (7)$$

となる。(7)式によ、て、節点自身の積分は、残りの可積分によ、て削除されることわかる。

3.4 境界応力の算定：本研究では2方法について考える。(Meth1)、(3)式の境界極限をとる方法である。この場合、変位としては $u_i(Q) = u_i(Q) - u_i(P)$ などを用いて計算する。(Meth2)応力を算定する点で、曲線座標を考え、形状微分を求めることによ、て算定した。この方法は積分を行なう必要がなく、 u_i 、 t_{ij} より直接応力を求めることが可能である。

4. 解析例

モデルとしては、(Model1)空洞に一様な内圧が作用する場合、(Model2)空洞に無限遠から一様な外力 σ_∞ を受けける場合を考えた。解析結果を下表に示す。球を24分割、54分割とした場合、内部応力の精度に大きな差異は認められず、24分割で十分な形状近似が行なわれていると考えてよい。つまり、2次近似を使用した場合には、かなりあらい要素分割でも、ある程度の精度が得られる。境界応力の場合は、Meth1よりMeth2の方が、各点での精度のばらつきが少なく、より信頼度が高い方法であると言えうであろう。

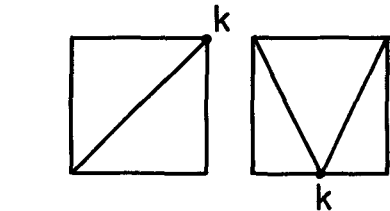


図-2

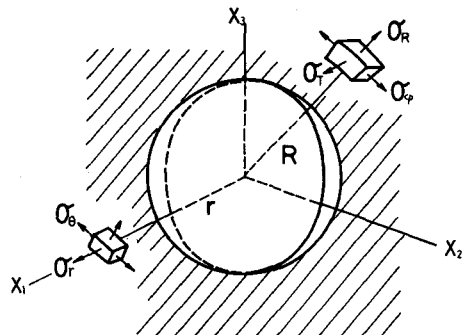


図-3

	Meth 1	Meth 2		Meth 1	Meth 2		Meth 1	Meth 2
24要素	-0.064	-0.448×10^{-7}	$\sigma_r / \sigma_\infty = 0$	-0.586 (17.1)	-0.486 (3.1)	$\sigma_\theta / \sigma_\infty = -0.5$	-0.008	2.35×10^{-5}
54要素	-0.016	0.0		-0.517 (3.36)	-0.491 (1.76)		0.002	0.0
$\sigma_t, \sigma_n = 2.0$								
	Meth 1	Meth 2		Meth 1	Meth 2		Meth 1	Meth 2
24要素	2.055 (2.75)	1.975 (1.25)	$\sigma_\theta / \sigma_\infty = 0$	0.017	-0.005	$()$ 内は誤差		
54要素	2.006 (0.3)	1.989 (0.55)		0.001	-0.002	$\sigma_{11}^{**} = \sigma^\infty, v = 0.2$		

表-1 Model 2における境界応力